волокон. Ядра кардиомиоцитов овоидной формы, неравномерно прокрашенные, нерезко выраженный межклеточный отек (рис. 3, 4). В литературе патологический неспецифический процесс в миокарде, развивающийся в ответ на экстремальные воздействия, получил название миокардиодистрофии. Наиболее часто к миокардиодистрофии приводят ишемические повреждения миокарда как результат неадекватного спроса сердечной мышцы.

При сдвиге pH до 7,1–7,0 продолжительностью 60–120 минут отмечаются дистрофия и некробиоз кардиомиоцитов, неравномерно выраженная гиперэозинофилия цитоплазмы, происходят гиперхромия и пикнотическое сморщивание ядер, внутриклеточный миоцитолиз и очаговый глыбчатый распад, периваскулярный и межклеточный отек (рис. 5). Обнаруженные изменения в кардиомиоцитах следует трактовать как

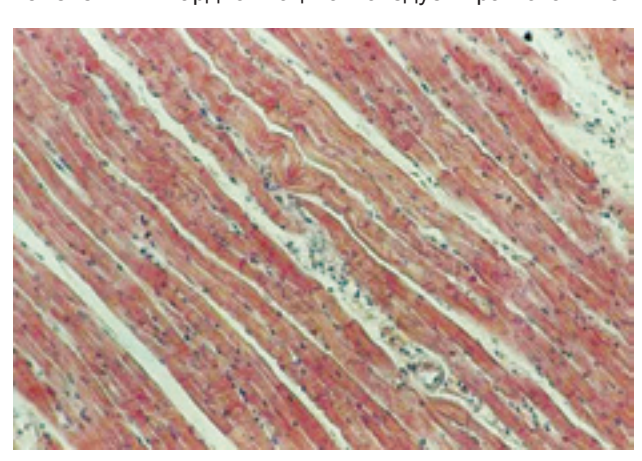


Рис. 5. Продольный срез мышечного волокна левого желудочка кошки.
Отмечаются дистрофия и некробиоз кардиомиоцитов, гиперэозинофилия цитоплазмы, гиперхромия и пикнотическое сморщивание ядер, внутриклеточный миоцитолиз и глыбчатый распад, очаги коагуляционного некроза, исчезновение поперечной исчерченности кардиомиоцитов и очаговая фрагментация, местами дугообразная изогнутость – контрактура мышечных волокон. Значительно выраженный периваскулярный и межмышечный отек. рН крови 7,0, продолжительность ацидоза 120 минут. Гематоксилин-эозин. Ув. об. 20. Микрофотография

необратимые. Отмечаются тяжелые изменения кардиомиоцитов при сохраненной строме и минимальных изменениях в сосудистом русле. Учитывая вышеизложенное, отмеченные изменения следует трактовать как «очаги повреждения» миокарда.

Сдвиг уровня рН до 6,9 и ниже приводит к еще более выраженным изменениям миокарда. Сердечная мышца реагирует неоднородной структурой поражения миокарда: на одних участках обнаруживаются изменения тинкториальных свойств, на других — дискоидный распад и контрактуры, на третьих — полиморфно-ядерные лейкоциты. Все это свидетельствует о том, что повреждения миокарда в разных его местах наступают не одновременно. Полученные изменения миокарда, свидетельствуют о развитии острого инфаркта миокарда, фазе некроза.

Описанные морфологические изменения расцениваются нами как неспецифический морфологический синдром.

ЛИТЕРАТУРА

- 1. *Альфонсов В. В., Альфонсова Е. В.* Гемостаз, морфологический эквивалент ДВС-синдрома и нарушение структурной организации сердца при метаболическом ацидозе // Вестник Иркутского РО АН ВШ России. 2001. № 1. С. 156–164.
- 2. *Баркаган 3. С.* Современные аспекты патогенеза, диагностики и терапии ДВС-синдрома / А. П. Момот // Вестник гематологии. 2005. № 2. С. 5–14.
- 3. *Зубаиров Д. М.* Эндотелиальные микровезикулы посредники межклеточных взаимодействий в сосудистом русле // Тромбоз, гемостаз и реология. 2011. № 2 (46). С. 6–11.
- 4. *Малышев В. Д.* Кислотно-щелочное равновесие и водноэлектролитный баланс в интенсивной терапии. – М. : Медицина, 2005. – 228 с.
- 5. *Тверской А. Л.* Лактат–ацидоз // МРЖ. Анестезиология и реаниматология. 1981. № 3. С. 50–57.
- 6. *Brus F*. Number and activation of circulating polymorphonuclear leukocytes and platelets are associated with neonatal respiratory distress syndrome severity / W. van Oeveren, A. Okken, S. B. Oetomo // Pediatrics. 1997. V. 99. № 5. P. 672–680.
- De Backer D. Lactic acidosis // Intensive care. med. 2003. –
 V. 29. P. 699–702.
- 8. *Hucabee W. E.* Lactic acidosis // Am. i. med. 1961. V. 30. P. 833–839.
- 9. Wohlisch E. Fortschritte in der physiologie der blutgerinnung // ergebnisse der physiologie biologischen chemie und experimentellen pharmakologie. 1940. Vol. 43. P. 174–370.

Поступила 27.12.2012

Е. А. БРАГИН¹, Е. А. ВАКУШИНА¹, З. Р. ДЗАРАЕВА²

ХАРАКТЕРИСТИКА КЛИНИКО-РЕНТГЕНОГРАФИЧЕСКИХ ВЕЛИЧИН ОПОРНЫХ ЗУБОВ В НЕСЪЕМНОМ ДВУХОПОРНОМ ЗУБНОМ ПРОТЕЗЕ

¹Кафедра ортопедической стоматологии ГБОУ ВПО СтГМА Минздрава Российской Федерации, Россия, 355017, г. Ставрополь, ул. Мира, 310. Тел. 8-962-403-60-31. E-mail: mark115@yandex.ru; ²кафедра ортопедической и терапевтической стоматологии ГБОУ ВПО СОГМА

Минздрава Российской Федерации,

Россия, 362019, г. Владикавказ, ул. Пушкинская, 40

Работа посвящена одной из актуальных проблем в стоматологии — изучению реакций в пародонте боковых зубов, использующихся в качестве опорных элементов в несъемном двухопорном зубном протезе. В процессе исследования оценены

линейные величины пародонта опорных зубов в предложенных протетических конструкциях по данным клинических, рентгенологических и графических методов исследования. При проведении исследования учитывались такие параметры, как протяженность изъяна зубного ряда в боковом отделе, геометрические величины опорных зубов и линейные величины их пародонта.

Ключевые слова: частичная потеря зубов, геометрия, величина.

E. A. BRAGIN1, E. A. VAKUSHINA1, Z. R. DZARAEVA2

CLINICAL-RADIOGRAPHIC VALUES OF ABUTMENTS IN TWO-BEARING NON-REMOVABLE DENTURES

¹Department of orthopedic GBOU VPO StSMA health Ministry of the Russian Federation, Russia, 355017, Stavropol, str. Mira, 310. Tel. 8-962-403-60-31. E-mail: mark115@yandex.ru; ²department of orthopedic and therapeutic dentistry GBOU VPO SOGMA Ministry of health of the Russian Federation, Russia, 362019, Vladikavkaz, str. Pushkinskaya, 40

The work is dedicated to one of the urgent problems in dentistry, the reactions in the periodontium posterior teeth, is used as a two-bearing elements in non-removable dentures. The study evaluated linear values of periodontal supporting teeth in the proposed prosthetic designs based on clinical, radiological and graphical methods. The study must consider such things as: the length of the dentition defect in the lateral parts, geometric size of the abutment teeth and the linear size of their periodontal disease.

Key words: partial loss of teeth, geometry, quantity.

Введение

Одной из самых встречающихся патологий в ортопедической стоматологии является частичная потеря зубов, осложняющаяся формирующейся травматической окклюзией [1, 16]. При таком клиническом течении данной стоматологической патологии опорными могут стать зубы как из функционирующей, так из нефункционирующей группы, при этом у нефункционирующих зубов отсутствует нагрузка пародонта, и в то же время у функционирующих зубов возникает функциональная перегрузка [2, 6, 7]. Продолжительная перегрузка детерминирует нарушение трофики пародонта, прогрессирующую деструкцию и, как следствие, патологическую подвижность зубов. Сочетание описанного воздействия с местным воспалением значительно ускоряет деструктивные процессы в пародонте, что еще более усугубляет течение патологического процесса [2, 10, 19]. Длительное отсутствие функциональной нагрузки пародонта приводит к развитию вазоконстрикции [4, 8, 9], а со временем и к морфологическим изменениям в структуре сосудистых стенок тканей пародонта [3], что в совокупности с воспалительной реакцией значительно ускоряет деструктивные процессы в пародонте [11, 12, 20].

По данным Е. Н. Жулева (1998), Б. П. Маркова (2001), Е. А. Брагина (2003), клиническая картина функциональной перегрузки на ранних стадиях характеризуется бессимптомным течением, что связано с повреждением рецепторов периодонта и пульпы перегруженных зубов, что отдаляет начало лечебнореабилитационных мероприятий.

Протетическое лечение частичной потери зубов несъемными мостовидными зубными протезами с опорами на естественных зубах позволяет эффективно восстановить целостность зубных рядов, жевательную и эстетическую функции, нормализовать фонетику, возвратить пациентам ощущение комфорта и уверенности естественного приема пищи [9, 13, 15].

По данным клинико-экспериментальных исследований С. А. Белова (1996), Г. Н. Строганова (2002),

М. В. Гомана (2003), Ю. М. Николаева (2004), Г. А. Романенко (2007), одним из главных и неоспоримых преимуществ несъемных мостовидных протезов является возможность замещать до четырех отсутствующих зубов во фронтальном отделе и до трех в боковых отделах зубного ряда.

Для рационального выбора конструкции зубного протеза принципиально важны качественная характеристика его опор, их количество, устойчивость, локализация в зубном ряду, и соотношение с коронкой и корневой частей зуба, параметры линейных размеров между продольными осями опорных элементов на окклюзионном, альвеолярном и верхушечном уровнях [9, 13, 14, 17].

Целью исследования явилась оценка параметров клинических, рентгенологических и графических методов исследования функционального состояния боковых опорных зубов и реактивных процессов в тканях пародонта у пациентов, пользующихся несъемными зубными протезами.

Материалы и методы исследования

Для решения поставленных задач были проанализированы результаты многоуровневого клиникорентгенологического обследования 310 пациентов, прошедших лечение на кафедре ортопедической стоматологии СтГМА в течение 2004—2010 гг. Все пациенты имели диагноз «частичная потеря зубов» с локализацией дефектов по 3-му классу Кеннеди. Из них женщин — 156 (в возрасте от 26 до 76 лет), мужчин — 154 (в возрасте от 26 до 76 лет). Количество исследованных опорных зубов в боковых отделах зубного ряда составило 776 в рабочей группе и 506 — в контрольной группе, для сравнения использовались интактные зубы противоположной боковой стороны зубного ряда. Измерение линейных размеров осуществляли по предложенной методике [5].

В процессе работы были поэтапно изучены линейные величины между долевыми осями опорных зубов и линейные величины пародонта опорных зубов,

включенных в дефекты в боковых отделах зубных рядов обеих челюстей в зависимости от их функциональной принадлежности и положения в зубной дуге.

При проведении работы был использован пакет следующих методов: клинических, рентгенологических, математических, статистических и программных средств цифровых вычислительных машин.

Клиническое обследование пациентов проводили согласно традиционным и общедоступным методикам. В качестве рентгенологических были применены: внутриротовые снимки и внеротовые (ортопантомограммы и спиральные компьютерные томограммы). Для анализа площади и размеров элементов зубочелюстной системы по данным ортопантомографии и спиральной компьютерной томографии с использованием программных средств персонального компьютера была предложена и применена методика по Е. А. Брагину, Е. А. Вакушиной, И. В. Романенко, Ю. М. Николаеву, Д. Е. Холину, 3. Р. Дзараевой (удостоверение на рационализаторское предложение от 24.03.2005 г. № 1160), при проведении которой осуществляли объективную оценку следующих показателей: 1) высота и толщина альвеолярного гребня верхней челюсти относительно дна альвеолярной бухты верхнечелюстной пазухи; 2) высота альвеолярного гребня нижней челюсти на уровне моляров и премоляров относительно верхней стенки нижнечелюстного канала; 3) характер трабекулярного рисунка, наличие кортикальной замыкающей пластинки, состояние челюстных костей и плотность костной ткани в зонах частичной потери зубов с последующей оценкой в лунках отсутствующих зубов полноты восстановления костных структур; 4) состояние краевых отделов альвеолярных гребней вокруг сохранившихся зубов; 5) толщина между кортикальными пластинками и нижнечелюстным каналом губчатого слоя нижней челюсти.

Результаты исследования

В результате проведенного рентгенологического, математического и последующего компьютерного исследования были получены обновленные числовые значения геометричных величин пародонта боковых зубов, самих зубов (клыков, премоляров и моляров), их корневых и коронковых частей как в рабочей, так и в контрольной группе, а также линейных расстояний между их долевыми осями как на базальном, так и на альвеолярном и окклюзионном уровнях.

Так, при исследовании продольной величины корневых частей клыка, премоляра и моляра в обеих исследуемых группах были получены статистически достоверные различия значений, и подтверждено положение о том, что продольная величина корневой части клыка в верхнем правом (при t=1,807; P<0,04) и верхнем левом (при t=1,922; P<0,05) боковых отделах больше в контрольной группе, чем в рабочей. Продольная величина корневой части нижнего левого второго премоляра больше (при t=1,799; P<0,04) в контрольной группе по сравнению с рабочей и в среднем составляет 10,42 мм. Продольная величина корневой части верхнего левого моляра больше (при t=1,73; P<0,05) и составляет порядка 9,15 мм по сравнению с нижним левым моляром (9,45 мм) (при t=1,8; P<0,04).

При исследовании продольной величины коронковой части клыка в трех боковых сегментах были получены статистически достоверные значения. Так, продольная величина коронковой части клыка была больше в основной группе, сектора 1; 2;

4. Среднее значение продольной величины коронковой части клыка составило 7,51; 7,23 и 6,98 мм по сравнению со значениями в контрольной группе 6,59; 6,75 и 6,54 мм соответственно. Продольная величина коронковой части премоляра оказалась больше во всех боковых сегментах в основной группе, значение в среднем составило от 6,78 до 7,24 мм соответственно, в контрольной группе эти значения распределились от 6,3 до 6,36 мм. Продольная величина коронковой части моляра достоверно больше обозначилась соответственно во 2-м секторе (при t=3,79; P< 0,001) и 4-м (при t=1,79; P< 0,04) рабочей группы по сравнению со значениями в контрольной группе и составило 6,7 и 6,24 мм и от 6,77 и 6,16 мм соответственно.

При исследовании и последующем сравнении геометричных величин зубов, использующихся под опоры протеза, продольная величина премоляра в рабочей группе в 1-м сегменте в среднем составила 17,16 мм, а в контрольной группе — 16,08 мм.

При исследовании и последующем сравнении по секторам в обеих группах значений продольных величин коронковых и корневых частей зубов, а также зубов в целом были констатированы тенденции с отрицательной зависимостью. Продольная величина всего клыка и его частей (коронковой и корневой) была больше относительно премоляра и моляра, за исключением моляра в 1-м секторе группы контроля, когда продольная величина корневой его части была больше, чем премоляра и клыка соответственно. Продольная величина коронковой части клыка и премоляра была больше в основной группе (при t = 2,38; P < 0,01): клык $-7,13 \pm 0,16$ мм в рабочей группе, $6,64 \pm 0,13$ мм - в контрольной группе, премоляр $-6,96 \pm 0,15$ мм в рабочей группе, $6,36 \pm 0,12$ мм - в контрольной группе.

При проведении анализа на окклюзионном уровне линейных величин расстояния между опорными зубами статистически достоверно было установлено, что линейные величины между клыком и премоляром в рабочей группе больше в боковом правом фрагменте и составили 13,09 ± 0,69 мм, в контрольной группе - $11,73 \pm 0,42$ мм (при t = 1,72; P< 0,04); линейные величины расстояния между премоляром и моляром в левом боковом фрагменте констатировались в контрольной группе $-18,51 \pm 0,52$ мм, $16,63 \pm 0,59$ мм в рабочей группе (при t = 2,41; P< 0,01); линейные величины расстояния между дистальными и медиальными опорными элементами констатировались больше в контрольной группе в левом боковом фрагменте -31,02 ± 0,66 мм, 28,57 ± 0,83 мм в рабочей группе (при t = 2,45; P< 0,01).

При проведении анализа на альвеолярном уровне линейных величин расстояния между опорными зубами были установлены статистически достоверные различия между дистальной и медиальной опорами, как в правом, так и в левом боковом фрагменте обеих челюстей. В рабочей группе линейные величины расстояния между данными опорными элементами в верхнем правом боковом фрагменте констатировались большими по значениям по сравнению с контрольной группой и составили соответственно $27,76 \pm 1,03$ мм и $25,57 \pm 0,52$ мм (при t = 1,83; P< 0,04), линейные величины расстояния между данными опорами в нижнем левом боковом фрагменте оказались больше в контрольной группе $-33,21 \pm 0,55$ мм, а в рабочей группе $-31,4 \pm 0,92$ мм (при t = 1,62; P< 0,04).

Линейные величины расстояния между опорными зубами на базальном уровне показали наиболее статистически достоверно выраженные различия: линейная величина расстояния между клыком и премоляром больше как в правом - 12,44 ± 0,65 мм, так и в левом - 13,21 ± 0,77 мм боковых сегментах зубного ряда в рабочей группе, в контрольной группе соответственно $-10,43 \pm 0,27$ мм и $10,71 \pm$ 0,53 мм. Расстояние между премоляром и моляром больше во всех боковых группах основной группы, за исключением левого нижнего фрагмента, линейные величины расстояния между медиальными и дистальными опорными элементами статистически достоверно превосходят во всех боковых группах рабочей группы, за исключением левого фрагмента на нижней челюсти.

Внутри всех 4 исследуемых боковых фрагментов верхней и нижней челюстей значения линейных величин расстояния между опорными элементами, как в рабочей, так и в контрольной группе, констатировалась однотипная графическая зависимость.

В результате проведенного исследования было установлено, что значения линейных величин — параметры боковых зубов существенно не отличаются между правой и левой сторонами зубного ряда на обеих челюстях в рабочей и контрольной группах, однако значения линейных величин пародонта клыка и второго премоляра в рабочей группе констатировались достоверно больше (при t = 2,37; P< 0,01 для клыка и t = 3,29; P< 0,001 для премоляра), чем аналогичное значение данной величины в контрольной группе.

Как в рабочей, так и в контрольной группе в процессе работы мы установили статистически достоверные различия между значениями линейных величин клыка, второго премоляра и второго моляра. Данные значения достоверно больше у клыка, чем у премоляра и моляра. Данные сравнительного анализа оценки значений линейных величин пародонта боковых зубов показали, что высота пародонта клыка достоверно больше премоляра в рабочей группе (при t = 3,53; P< 0,001), чем в контрольной группе (при t = 5,82; P< 0,001), высота пародонта клыка больше высоты пародонта моляра в группах сравнения: рабочая группа t = 27,90; P< 0,001 и контрольная группа - t = 7,90, Р< 0,001, значения высоты пародонта клыка, премоляра и моляра не имеют статистически достоверных отличий в контрольных группах (Р> 0,01).

Нами были изучены значения линейных величин между долевыми осями опорных зубов, свидетельствующие о протяженности дефекта зубного ряда с целью изучения функционального состояния пародонта опорных зубов в боковом отделе зубного ряда. При этом мы анализировали линейные величины расстояния между долевыми осями клыка, второго премоляра и второго моляра. Изучение данных величин проводили по 3 основным параметрам: 1) изучались линейные величины расстояния между долевыми осями опорных зубов относительно вершины гребня альвеолярного отростка; 2) изучались линейные величины расстояния между долевыми осями опорных зубов относительно верхушек корней; 3) изучались линейные величины расстояния между долевыми осями опорных зубов относительно окклюзионной плоскости.

Последнее обусловлено тем, что долевые оси опорных зубов, как правило, непараллельны вследствие изменения положения зубов в зубной дуге, обусловлен-

ного формирующейся деформацией окклюзионного рельефа на фоне частичной потери зубов.

В результате анализа полученных данных было установлено, что линейные величины расстояния между долевыми осями боковых зубов как на окклюзионном, так и на альвеолярном и верхушечном уровнях существенно не отличаются между правой и левой сторонами зубного ряда обеих челюстей. Мы также не установили статистически достоверных различий между соответствующими измерениями в обеих исследуемых группах. Статистически достоверные различия нами были получены при сравнении значений линейных величин между долевыми осями боковых зубов на окклюзионном, альвеолярном и верхушечном уровнях между клыками, премолярами и молярами соответственно также в исследуемых группах.

В исследуемых группах линейные величины расстояний между премолярами и молярами как в рабочей, так и в контрольной группе статистически достоверно больше, чем аналогичные величины между клыками и премолярами, и составили в среднем 17,89 \pm 1,01 мм и 13,07 \pm 034 мм (при t = 4,66; P>0,001) соответственно. В рабочей группе линейная величина — расстояние между долевыми осями второго премоляра и второго моляра на уровне верхушки корня составила 19,86 \pm 1,62 мм, что статистически достоверно больше аналогичной величины на окклюзионном уровне — 16,49 \pm 0,20 мм (при t = 2,07; P> 0,05).

Статистически достоверно установлено, что величина линейного расстояния между долевыми осями второго премоляра и второго моляра на уровне верхушки корня в рабочей группе больше, чем аналогичная величина в контрольной группе — $17,27 \pm 1,95$ мм и $19,86 \pm 1,62$ мм соответственно (при t = 2,10; P> 0,05).

Сравнительная оценка значений величин линейных расстояний между долевыми осями боковых зубов на окклюзионном, альвеолярном и верхушечном уровнях показала, что данные величины между долевыми осями коронок боковых зубов на уровне окклюзионной поверхности между осями второго премоляра и второго моляра в исследованиях больше, чем аналогичная величина между долевой осью клыка и второго премоляра (при t=17,01; P<0,01) в рабочей группе и (при t=17,32; BP<0,01) в группе сравнения. Статистически достоверных различий данных величин между долевыми осями клыка и второго моляра как на окклюзионном, альвеолярном, так и на базальном уровне не выявлено (P>0,05).

На альвеолярном уровне величины линейных расстояний между долевыми осями второго премоляра и второго моляра статистически достоверно выше, чем аналогичная величина между долевой осью клыка и второго премоляра в рабочей группе (при t=3,75; P<0,001) и в группе сравнения (при t=3,66; P<0,001), существенных отличий данных величин между долевой осью клыка и второго моляра на альвеолярном и базальном уровнях выявлено не было (P>0,05).

На базальном уровне величины линейных расстояний между долевыми осями второго премоляра и второго моляра статистически достоверно превосходят аналогичную величину между долевыми осями клыка и второго премоляра в рабочей группе (при t = 3,74; P< 0,001) и группе сравнения (t = 2,27; P< 0,001). Статистически достоверно установлено, что данная величина между долевой осью второго премоляра и второго моляра на уровне верхушки

корней больше аналогичной величины на альвеолярном уровне в рабочей группе (при t=2,07; P<0,05) и существенно не отличается в группе сравнения (при t=2,01; P>0,05).

Обсуждение

Знание индивидуальных линейных величин опорных зубов, коронки, корня, пародонта, а также линейных размеров между долевыми осями на трех различных уровнях позволило нам индивидуально подходить к планированию протетического лечения пациентов с малыми включенными дефектами зубного ряда в его боковых отделах. В результате проведенного теоретического подтверждения величин конструкции несъемного двухопорного зубного протеза в боковом отделе зубного ряда с использованием в качестве опорных элементов однокорневых и многокорневых зубов с неравнозначной степенью устойчивости были определены предельно допустимые нагрузки на каждую из опор, что позволило эффективно прогнозировать результаты индивидуального лечения пациентов с данной стоматологической патологией.

Результатом проведенной исследовательской работы стали имитационная модель и прикладная программа в реализации цифровой электронно-вычислительной машины для предварительного подтверждения конструкции несъемного двухопорного зубного протеза, показывающая в процентном соотношении рост напряжения в опорных элементах относительно изменения линейных величин между долевыми осями опор и размеров тела самого протеза, что сделало возможным вносить альтернативы при планировании конструкции зубного протеза, а клиническая апробация предложенной программы показала её эффективность.

При определении индивидуальных продольных величин опорных зубов и линейных величин между их долевыми осями на различных уровнях успешно применили методику анализа площади и размеров элементов зубочелюстной системы по данным ортопантомографии и компьютерной томографии с использованием программных средств персонального компьютера (рационализаторское предложение от 24.03.2005 г. № 1160).

Таким образом, можно констатировать, что стоматологу-ортопеду в современных условиях при принятии решения о показаниях и противопоказаниях к применению различных конструкций зубных протезов, способов и материалов их изготовления в соответствии с определенной клинической ситуацией необходим не только рентгеновский снимок больного зуба, но и имитационная модель челюстей с внесением данных всех дополнительных методов исследования, а протокол протетического лечения должен проводиться с учетом индивидуальных геометричных величин зубочелюстной системы пациента.

Несомненно, полученные данные стали более ценными для клинической практики, когда к измерениям линейных величин расстояния между долевыми осями боковых зубов были добавлены линейные величины пародонта для каждого опорного элемента зубного протеза, что позволило планировать конструкцию мостовидного протеза с учетом индивидуальных геометрических величин тканей протезного ложа.

ЛИТЕРАТУРА

1. Абакаров С. И. Современные конструкции несъемных зубных протезов. – М., 1994. – С. 10–27.

- 2. Безвестиный Г. В. Клинические и технические мероприятия по улучшению прилегания цельнолитых несъемных зубных протезов к протезному ложу / Г. В. Безвестный, И. И. Абдулов, Ю. В. Розов // Стоматология. −1992. № 2. С. 91-93.
- 3. *Беньковская С. Г.* Сравнительная оценка тканей пародонта у пациентов с металлическими и металлокерамическими протезами / С. Г. Беньковская, Б. Т. Расторгуев // Новое в стоматологии. 1996. № 3. С. 21–22.
- 4. Богданова Н. Г. Новые подходы к вопросам подготовки зубов к протезированию / Н. Г. Богданова, В. В. Горюнов // Панорама ортопедической стоматологии. 2003. № 1. С. 8–12.
- 5. Брагин Е. А. Анализ площади и размеров элементов зубочелюстной системы по данным ортопантомографии и компьютерной томографии с использованием программных средств персонального компьютера / Е. А. Брагин, Е. А. Вакушина, И. В. Романенко, Ю. М. Николаев, З. Р. Дзараева // Методические рекомендации для студентов, врачей—интернов и стоматологов практического здравоохранения. Ставрополь, 2005. 14 с.
- 6. *Бушан М. Г.* Осложнения при зубном протезировании и их профилактика / М. Г. Бушан, Х. А. Каламкаров. Кишинев, 1980. 268 с.
- 7. Влияние протезов различных конструкций на опорные ткани протезного ложа / Э. С. Каливраджиян, Н. А. Голубев, И. П. Рыжова, Е. Ю. Каверина // Медицинский бизнес. 2001. № 1. С. 39–40.
- 8. *Иорданишвили А. К.* Клиническая ортопедическая стоматология. Санкт-Петербург, 2001. 301 с.
- 9. Исследование напряжённо-деформированного состояния мостовидных протезов / М. Ф. Сухарев [и др.] // Стоматология. 1991. № 3. С. 48–49.
- 10. Ларионов В. М. Фонетическая адаптация к мостовидным протезам при протезировании переднего отдела верхней челюсти // Российский стоматологический журнал. 2004. № 6. С. 17–25.
- Лебеденко И. Ю. Замковые крепления зубных протезов /
 И. Ю. Лебеденко, А. Б. Перегудов, Т. Э. Хапилина. М., 2001. –160 с.
- 12. *Леман К*. Основы терапевтической и ортопедической стоматологии / К. Леман, Э. Хельвиг / Под ред. С. И. Абакарова, В. Ф. Макеева. Львов, 1999. 262 с.
- 13. Ожоган 3. Р. Ортопедическое лечение частичного отсутствия зубов съемными мостовидными протезами с периодическим временем фиксации // Современная стоматология. 2001. № 4 (16). С. 87–89.
- 14. Олесова В. Н. Биомеханическое обоснование замковых креплений в мостовидных протезах с опорой на зубы и внутрикостные имплантаты / В. И. Олесова, Т. Т. Долидзе, А. С. Киселёв // Российский стоматологический журнал. 2000. № 4. С. 4—8.
- 15. Ортопедическое лечение адентии челюстей с опорой на остеоинтегрированные имплантаты / С. Н. Супрунов, С. Д. Арутюнов, О. Б. Кулаков, В. В. Матюнин // Медицинский бизнес. 1999. № 9 (63). С. 12–16.
- 16. Ортопедическая стоматология / А. С. Щербаков, Е. Н. Гаврилов, В. Н. Трезубов, Е. Н. Жулев. Санкт-Петербург, 1997. –
- 17. *Павленко В. М.* Подготовка зубов пациентов при протезировании несъемными протезами // Современная стоматология. 2003. № 1 (21). С. 97–99.
- 18. *Рабухина Н. А.* Рентгенография в стоматологии / Н. А. Рабухина, А. П. Аржанцев. М., 1999. 452 с.
- 19. *Hubalkova H.* Faktory ovlivnujict zivotnost fixni zubni nahradj / H. Hubalkova, J. Charvat, T. Dostalova // Progresdent. 2004. № 5. P. 46–51.
- 20. Somello A. Сравнительный анализ цельнокерамических и металлокерамических реставраций // Новое в стоматологии. 2008. № 1. С. 86–98.